



# RENCONTRE 4 FÉVRIER 2025

XAVIER LEBEUF



# ORDRE DU JOUR

- Rappel sur la dernière rencontre
- Tests numériques des deux dernières semaines
- Prochain article

# ORDRE DU JOUR

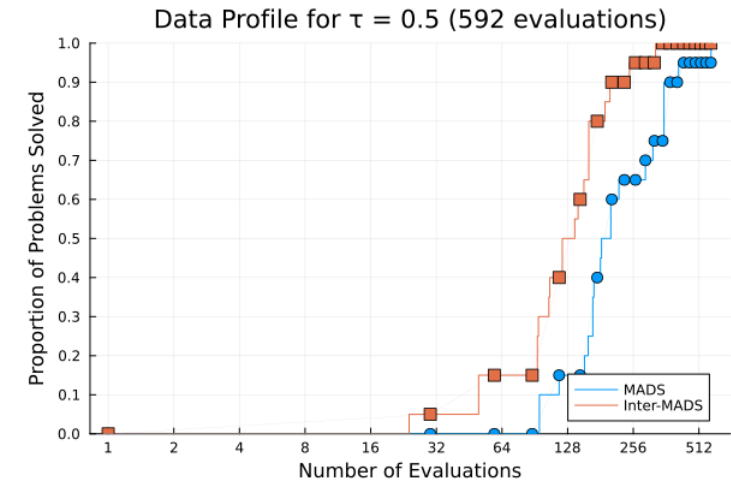
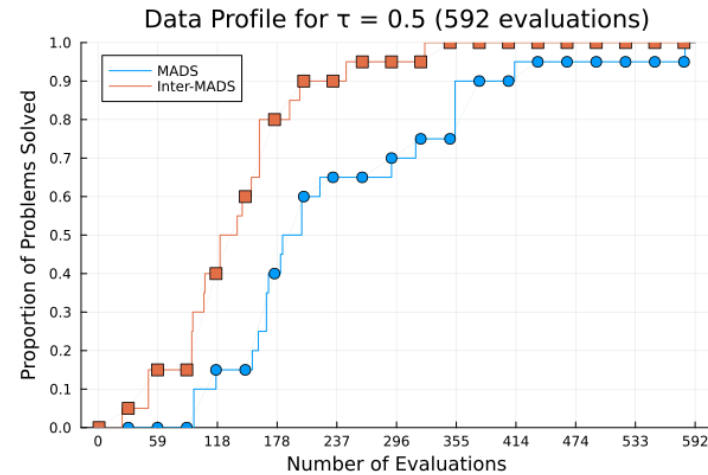
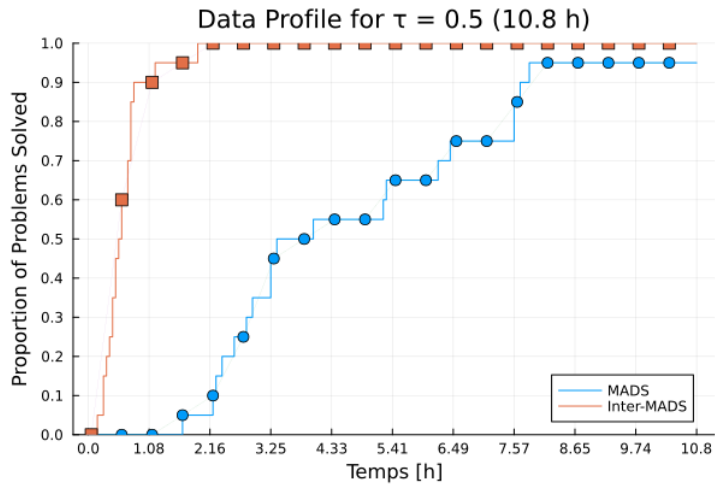
- **Rappel sur la dernière rencontre**
- Tests numériques des deux dernières semaines
- Prochain article

## RAPPEL SUR LA DERNIÈRE RENCONTRE

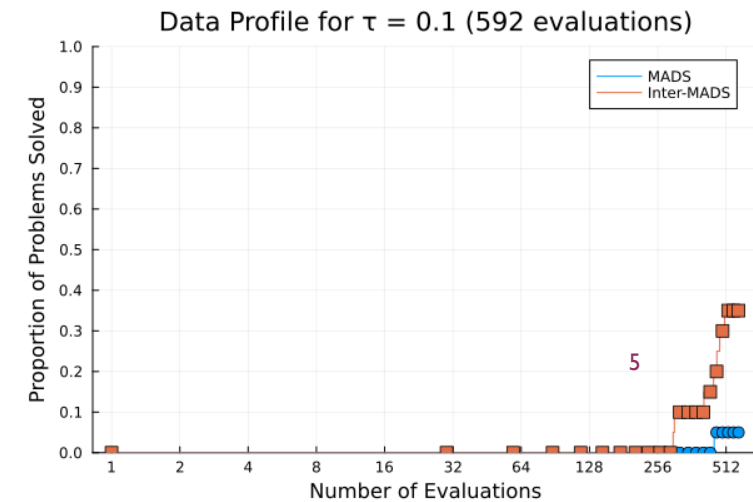
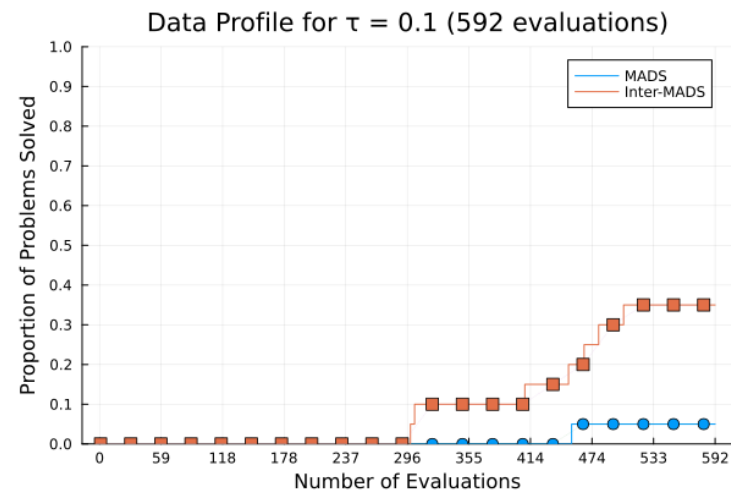
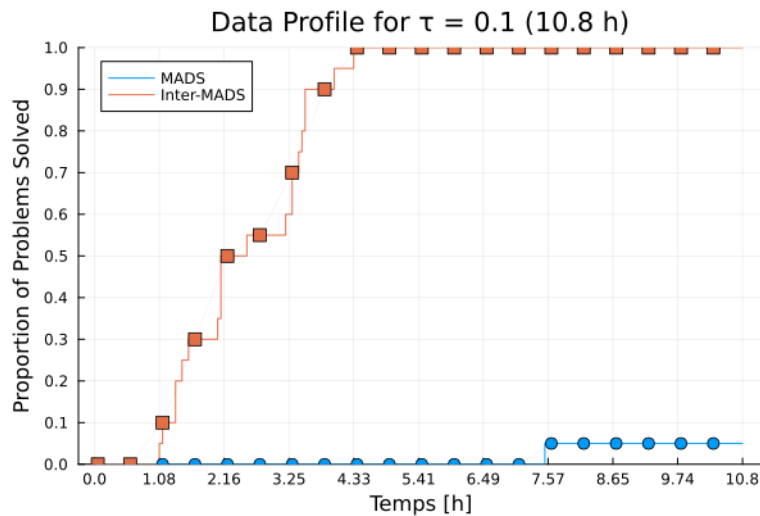
- Attentes:
  - Profils en fonction du nombre d'évaluations: similaires
  - Profils en fonction du temps: Inter-DS est meilleur
- Observations:
  - Profils en fonction du nombre d'évaluations: Inter-DS est meilleur
  - Profils en fonction du temps: Inter-DS est encore meilleur

# RAPPEL SUR LA DERNIÈRE RENCONTRE À PARTIR DE RÉSULTATS DANS L'ARTICLE DE MAITRISE:

Tau = 0.5

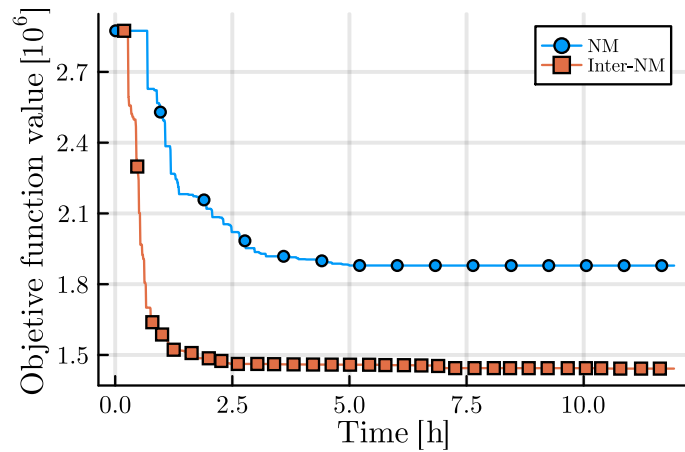
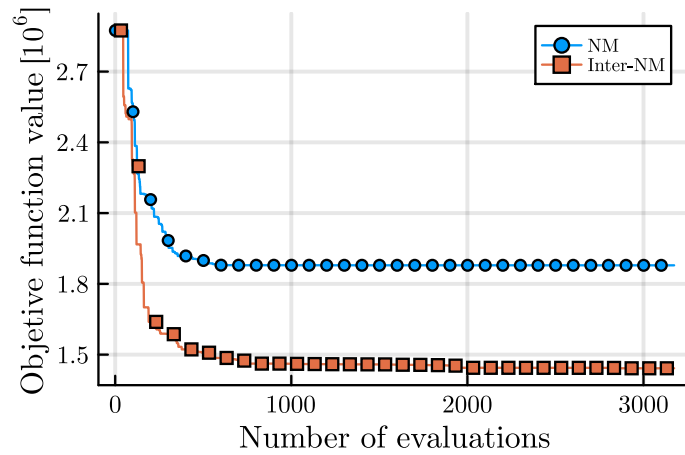


Tau = 0.1

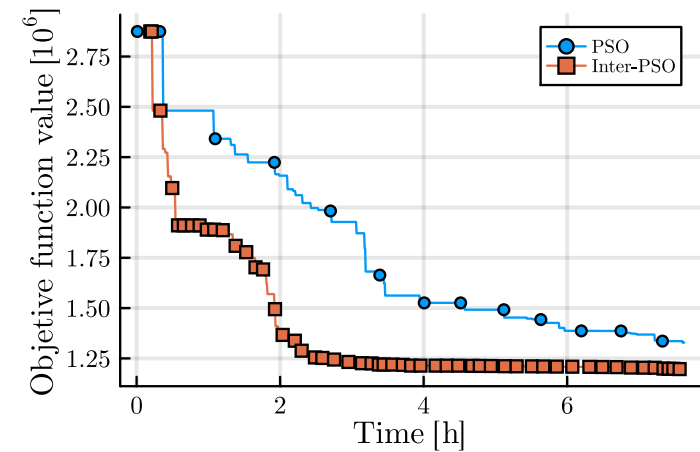
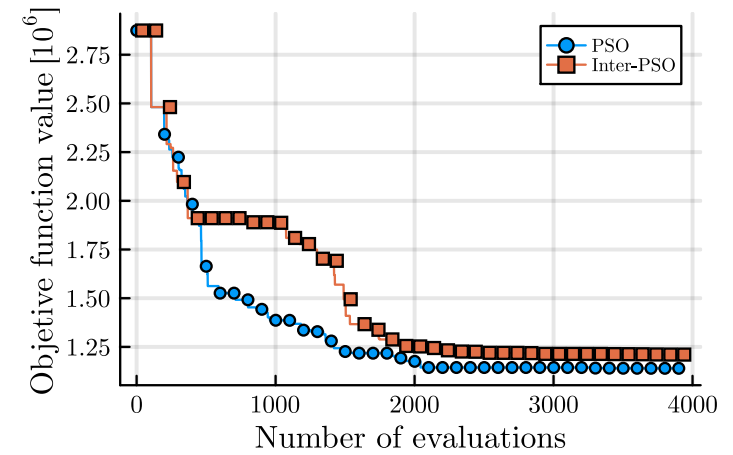


# RAPPEL SUR LA DERNIÈRE RENCONTRE À PARTIR DE RÉSULTATS DANS L'ARTICLE DE MAITRISE:

Nelder-Mead:



PSO:



# RAPPEL SUR LA DERNIÈRE RENCONTRE À PARTIR DE RÉSULTATS DANS L'ARTICLE DE MAITRISE:

- À faire: investiguer l'impact des modèles

# ORDRE DU JOUR

- Rappel sur la dernière rencontre
- **Tests numériques des deux dernières semaines**
- Prochain article



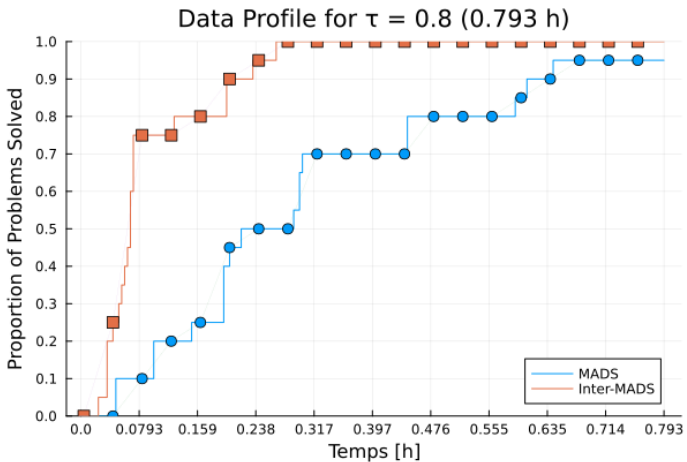
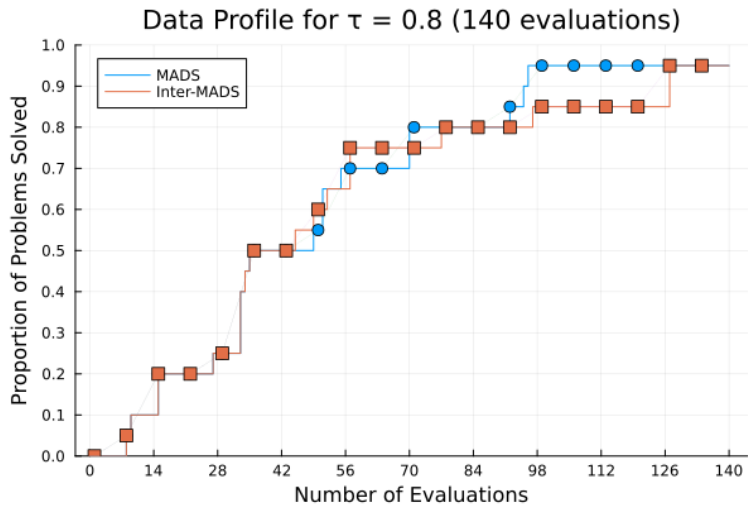
# TESTS NUMÉRIQUES DES DEUX DERNIÈRES SEMAINES

- Avant de tester avec/sans modèles, j'ai tenté de répliquer solidement le comportement à étudier pour avoir une base comparative
- Se concentrer sur la BE en premier

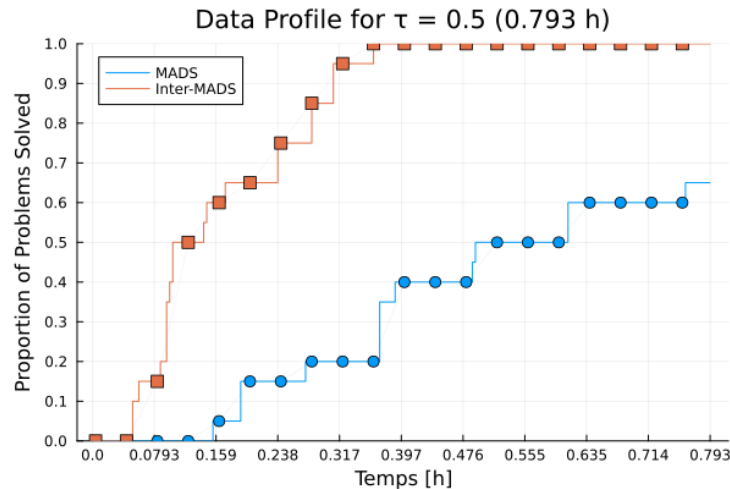
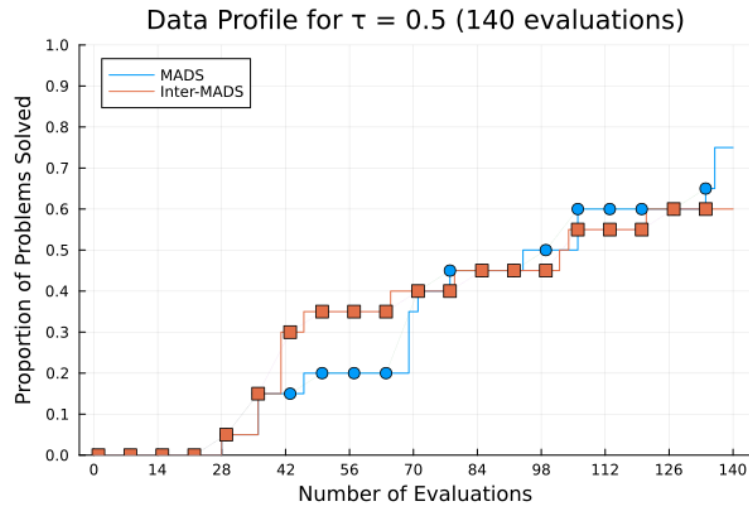
# 20 GRAINES, EB, 1 HEURE

REFAITS CAR J'AIT TROUVÉ UN BUG  
RÉSULTATS SIMILAIRES AVEC UN DIFFÉRENT POINT DE DÉPART

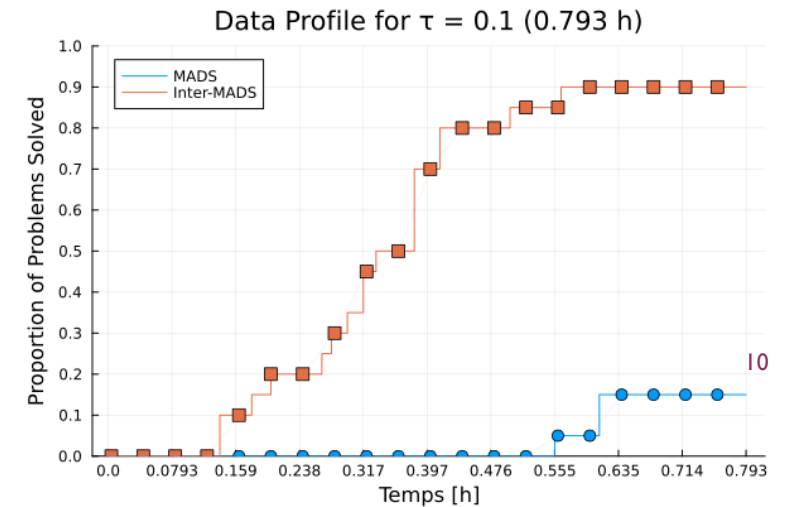
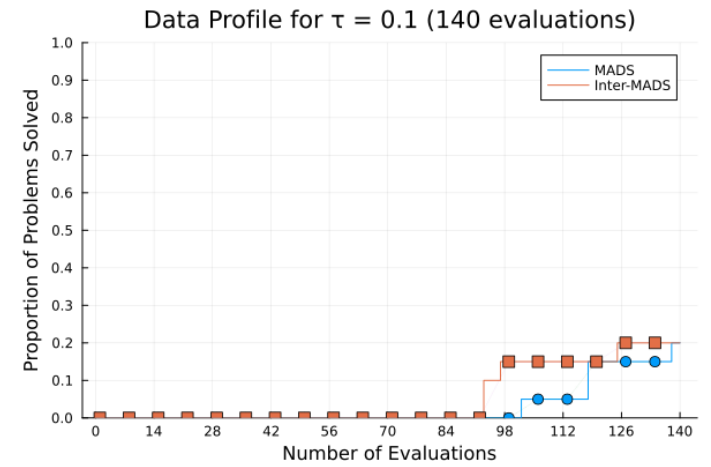
**Tau = 0.8**



**Tau = 0.5**



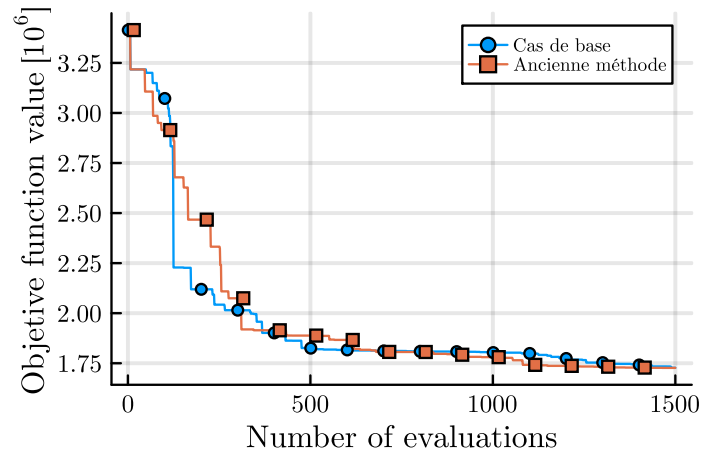
**Tau = 0.1**



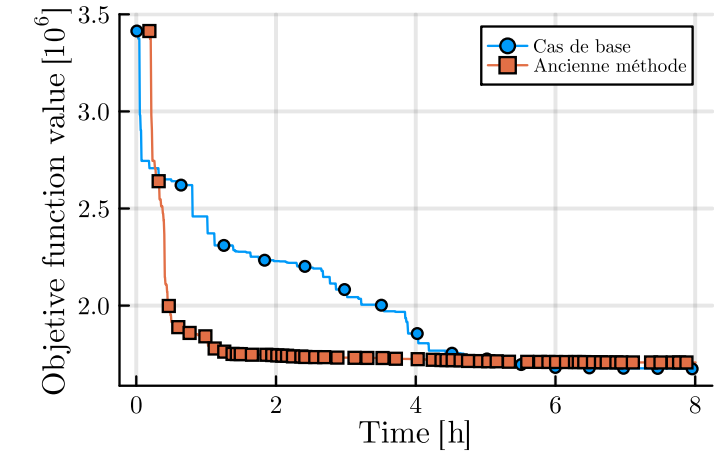
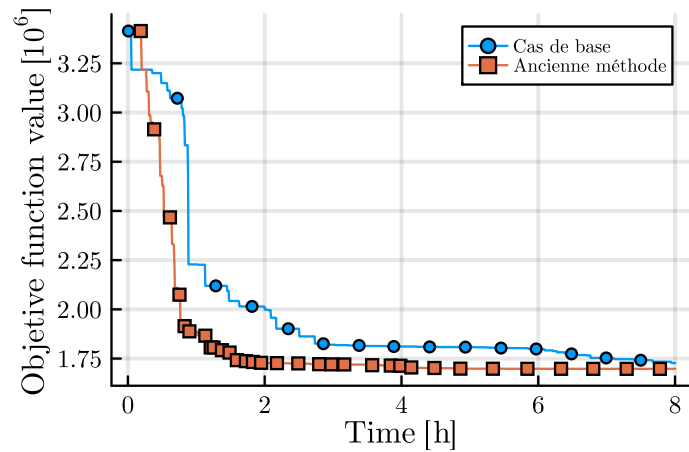
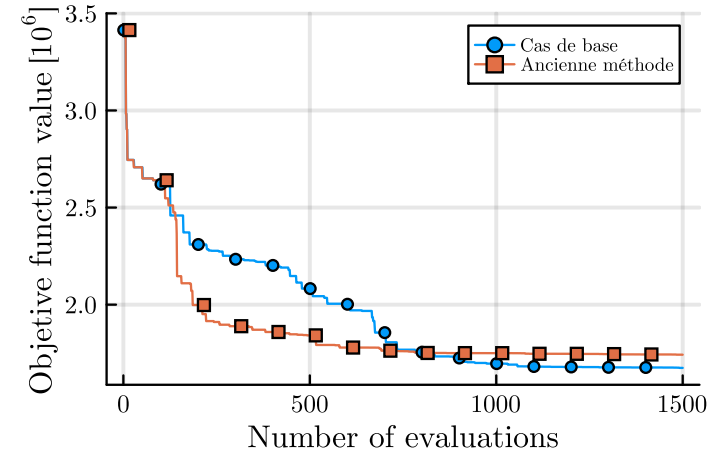
# EB, 14 HEURES

PEUT ÊTRE QUE LE COMPORTEMENT SERA OBSERVÉ SUR LE LONG TERME?

Graine 0



Graine 1

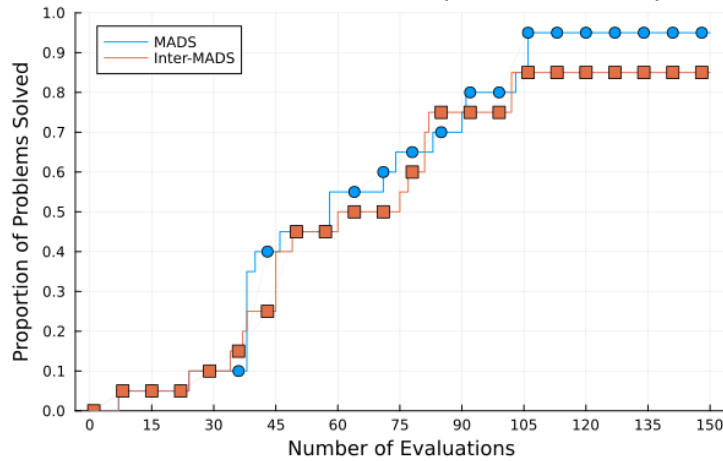


# 20 GRAINES, PB, 1 HEURE

MÊME AVEC LA BP, JE NE RETROUVE PAS LE COMPORTEMENT DES RÉSULTATS DE LA MAITRISE  
RAISON: NOMAD3 VS NOMAD4?

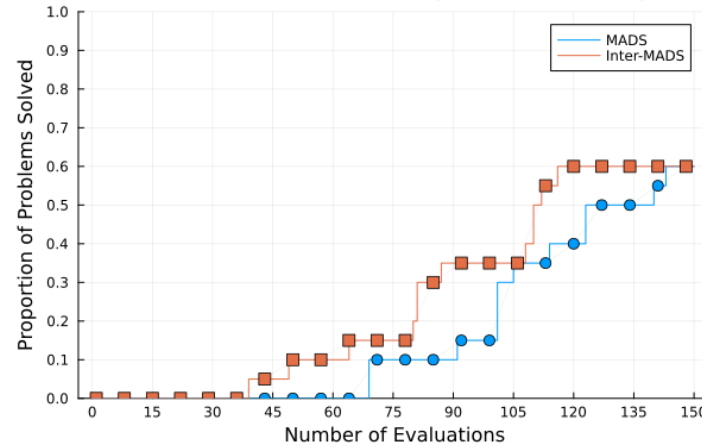
## Tau = 0.8

Data Profile for  $\tau = 0.8$  (150 evaluations)



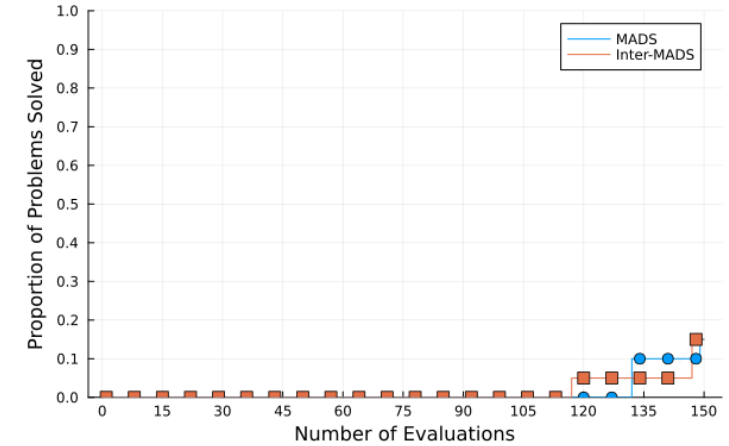
## Tau = 0.5

Data Profile for  $\tau = 0.5$  (150 evaluations)

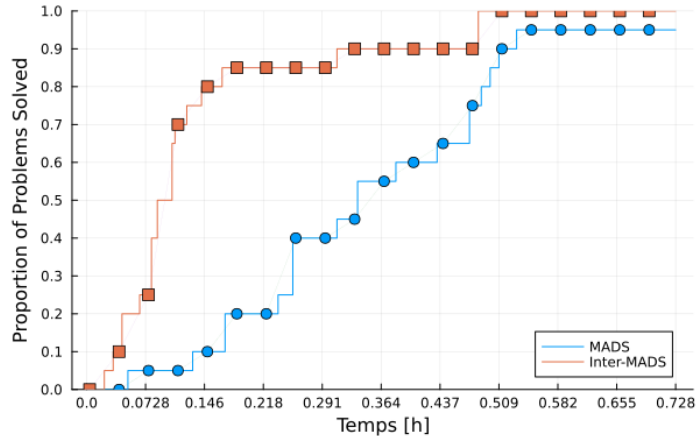


## Tau = 0.1

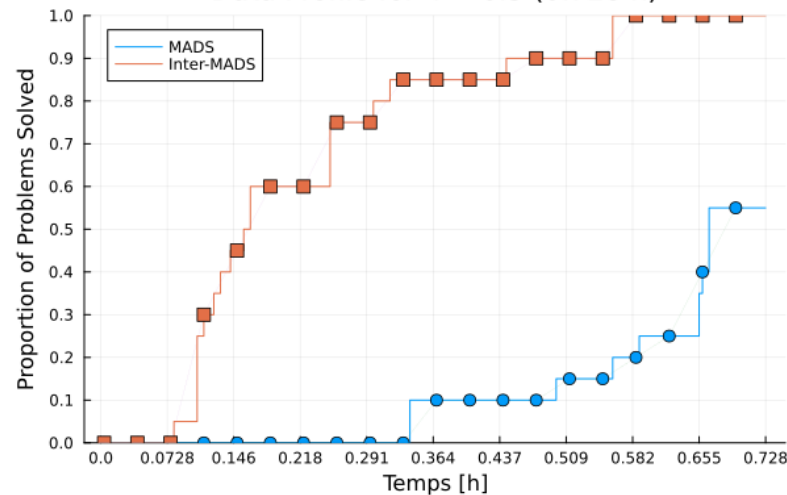
Data Profile for  $\tau = 0.1$  (150 evaluations)



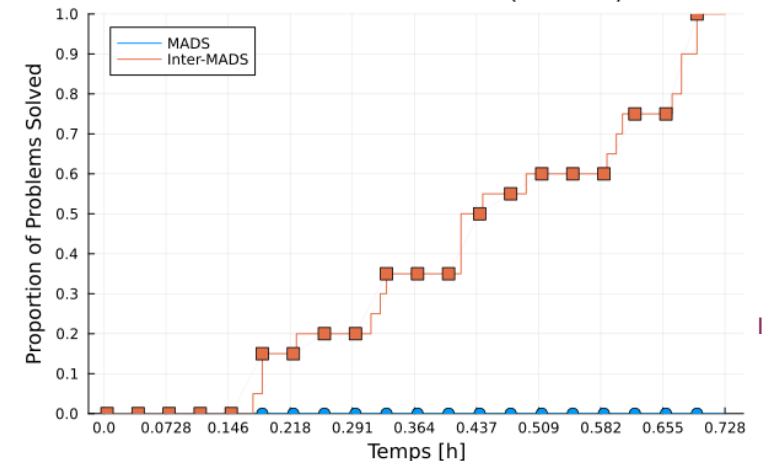
Data Profile for  $\tau = 0.8$  (0.728 h)



Data Profile for  $\tau = 0.5$  (0.728 h)



Data Profile for  $\tau = 0.1$  (0.728 h)



# CONCLUSION

- Je n'ai pas réussi à reproduire le comportement à étudier
- Raison possible: nomad 4 vs nomad 3. Est-ce que ça vaut la peine d'investiguer?
- La situation me met serré un peu dans mon diagramme de Gantt
- Si j'arrête cette recherche là, je n'ai pas complètement perdu tout mon temps de puis le retour des fêtes (outils de visualisation, tests contre lesquels se comparer, etc.)

# ORDRE DU JOUR

- Rappel sur la dernière rencontre
- Tests numériques des deux dernières semaines
- **Prochain article**

# AMÉLIORATIONS THÉORIQUES ET ALGORITHMIQUES

- En me remettant les mains dans le papier, j'ai remarqué un détail

Comment c'est:

$$\begin{aligned}
 \min_{B \in \mathbb{B}^{L \times m}, y \in \mathbb{R}^L} \quad & f(B) := t_1 y_1 + \sum_{i=2}^L t_i y_i \prod_{k=1}^{i-1} P_k(B) \\
 \text{s.t.} \quad & \sum_{i \in I} B_{ij} = 1 \quad \forall j \in J \\
 & B_{ij} - \varepsilon \leq r_{ij} \quad \forall (i, j) \in I \times J \\
 & B_{ij} \leq y_i \leq 1 \quad \forall (i, j) \in I \times J \\
 & y_i \leq \sum_{j \in J} B_{ij} \quad \forall i \in I.
 \end{aligned}$$

(Q)

Comment ça aurait pu être:

$$\begin{aligned}
 \min_{B \in \mathbb{B}^{L \times m}, y \in \mathbb{R}^L} \quad & f(B, y) := t_1 y_1 + \sum_{i=2}^L t_i y_i \prod_{k=1}^{i-1} P_k(B) \\
 \text{s.t.} \quad & \sum_{i \in I} B_{ij} = 1 \quad \forall j \in J \\
 & B_{ij} - \varepsilon \leq r_{ij} \quad \forall (i, j) \in I \times J \\
 & B_{ij} \leq y_i \leq 1 \quad \forall (i, j) \in I \times J \\
 & y_i \leq \sum_{j \in J} B_{ij} \quad \forall i \in I.
 \end{aligned}$$

(Q)

$$\begin{aligned}
 \min_{B \in \mathbb{B}^{L \times m}} \quad & t_1 y_1(B) + \sum_{i=2}^L \left( t_i y_i(B) \prod_{k=1}^{i-1} P_k(B) \right) \\
 \text{s.t.} \quad & \sum_{i \in I} B_{ij} = 1 \quad \forall j \in J \\
 & B_{ij} = 0 \quad \forall (i, j) \in I \times J \text{ such that } i < i(j).
 \end{aligned}$$

(Q<sub>1</sub>)

$$\begin{aligned}
 \min_{B \in \mathbb{B}^{L \times m}} \quad & f(B) := t_1 y_1(B) + \sum_{i=2}^L \left( t_i y_i(B) \prod_{k=1}^{i-1} P_k(B) \right) \\
 \text{s.t.} \quad & \sum_{i \in I} B_{ij} = 1 \quad \forall j \in J \\
 & B_{ij} = 0 \quad \forall (i, j) \in I \times J \text{ such that } i < i(j).
 \end{aligned}$$

(Q<sub>1</sub>)

# AMÉLIORATIONS THÉORIQUES ET ALGORITHMIQUES

- Dans ma proposition de recherche: à prouver que les contraintes à priori peuvent être retirées sans problème
- J'ai aussi trouvé une omission dans la réintroduction des contraintes à priori
- D'abord: nouvelle notation pour formaliser le processus:

$$\begin{aligned} \min_{B \in \mathbb{B}^{|I| \times |J|}} \quad & f(B) = t_1 y_1(B) + \sum_{i=2}^L \left( t_i y_i(B) \prod_{k=1}^{i-1} P_k(B) \right) \\ (Q)(I, J) \quad & \text{s.t.} \quad \sum_{i \in I} B_{ij} = 1 \quad \forall j \in J \\ & B_{ij} = 0 \quad \forall (i, j) \in I \times J \text{ such that } i < i(j). \end{aligned}$$

- Donc je veux trouver des ensembles  $I_F$  et  $J_F$  les plus petits possibles tels que une solution obtenue en résolvant  $(Q)(I_F, J_F)$  et en réintroduisant les rangées  $I \setminus I_F$  et  $J \setminus J_F$  appartient à l'argmin de  $(Q)(I, J)$



# AMÉLIORATIONS THÉORIQUES ET ALGORITHMIQUES

## 3.4 Improvement 4: new constraints filtering

This section presents some clarifications on a priori constraints and an algorithmic change via a better definition of  $J_F$ . Hence, the previous filtered set of fidelities (8) is renamed  $J \setminus J_{ap}$  where

$$J_{ap} := \{j \in J : c_j \leq 0 \text{ is an a priori constraint}\}, \quad (13)$$

as it filtered out a priori constraints.

In [2], the solution matrix  $B$  of size  $L \times m$  was constructed by first solving  $\mathcal{Q}(I_F, J \setminus J_{ap})$ , and then reintroducing the rows and columns that were removed giving a value of 0 to these new elements. This was done under the assumption that an external mechanism would interrupt the evaluation if an a priori constraint was violated (for example, if the blackbox returns values greater than 0 for simulated constraints), which is misleading. Moreover, it was claimed that a priori constraints need not be considered in the computation of an optimal biadjacency matrix  $B$  without justification. Both aspects are clarified in this section.

After reintroducing rows  $I \setminus I_F$ , the value 0 is given to the new elements. Then, columns  $J_{ap}$  are reintroduced by assigning each a priori constraint to the lowest fidelity in  $\Phi$  to which at least one simulated constraint is assigned. This way, the evaluation of a point  $x \notin \Omega_{ap}$  is interrupted after the first sub-evaluation, without causing additional sub-evaluations when  $x \in \Omega_{ap}$ .

# AMÉLIORATIONS THÉORIQUES ET ALGORITHMIQUES

**Proposition.** Let  $B^r \in \mathbb{B}^{L \times (m - |J_{ap}|)}$  be an optimal solution of problem  $\mathcal{Q}(I, J \setminus J_{ap})$ , and let  $B \in \mathbb{B}^{L \times m}$  be the result of reintroducing columns  $J_{ap}$  to  $B^r$  with

$$B_{ij} = \begin{cases} B_{ij}^r & \text{if } j \notin J_{ap} \\ 1 & \text{if } j \in J_{ap}, i = \min\{i \in I : y_i(B^r) = 1\} \\ 0 & \text{otherwise} \end{cases} \quad \forall (i, j) \in I \times J. \quad (14)$$

Then,  $B$  is optimal for problem  $\mathcal{Q}(I, J)$ .

**Proof.** First, since  $r_{ij} = 1$  for each  $(i, j) \in I \times J_{ap}$  and by (14),  $B^r$  being feasible for problem  $\mathcal{Q}(I, J \setminus J_{ap})$  implies that  $B$  is feasible for  $\mathcal{Q}(I, J)$ . Second, for each  $x \in X$ ,

$$B \text{ minimizes } \mathbb{E}_{x \in X} [t(x, B) \mid x \in \Omega_{ap}]$$

if there is no fidelity in  $\Phi$  to which only a priori constraints are assigned in  $B$ . This condition is fulfilled by (14). If  $x \notin \Omega_{ap}$ , (14) ensures that only one sub-evaluation is sufficient to interrupt the evaluation. By definition of an a priori constraint, the time required for this sub-evaluation is near 0. Therefore,

$$B \text{ minimizes } \mathbb{E}_{x \in X} [t(x, B) \mid x \notin \Omega_{ap}].$$

Finally, as probabilities are nonnegative, it follows that  $B$  is optimal for problem  $\mathcal{Q}(I, J)$  from

$$\begin{aligned} \min_B f(B) &= \min_B \mathbb{E}_{x \in X} [t(x, B)] \\ &= \min_B (Pr[x \in \Omega_{ap}] \mathbb{E}_{x \in X} [t(x, B) \mid x \in \Omega_{ap}] + Pr[x \notin \Omega_{ap}] \mathbb{E}_{x \in X} [t(x, B) \mid x \notin \Omega_{ap}]). \end{aligned}$$

□

# AMÉLIORATIONS THÉORIQUES ET ALGORITHMIQUES

- Questionnements sur le prochain papier:
- Toutes les petites preuves de ma proposition de recherche. À quel point c'est publiable?
- Comme il se basera énormément sur le précédent, à quel point on réitère la notation du précédent? Ou plutôt c'est au lecteur d'aller lire le premier papier?
- Comment procéder pour la nouvelle notation? Par exemple, les ensembles  $I_F$  et  $J_F$  vont changer.